

Karte 1: Historische bis neoglaziale glazialgeomorphologische Phänomene im Einzugsgebiet des Cha Lungpa

83°35'00" E

28°60'00" N

Untersuchte Gletscher

- | | |
|--------------------------------------|-----------------------------------|
| 1 MUKUT-GL. | 9 TUKUCHE YAMKIM PEAK N-GL. |
| 2 RECHTER NEBENGL. DES MUKUT-GL. | 10 TONGU-GL. |
| 3 HONGDE HIMAL I-GL. | 11 RECHTER NEBENGL. DES TONGU-GL. |
| 4 HONGDE HIMAL III-GL. | 12 CHA LUNGPA PEAK-GL. |
| 5 HONGDE HIMAL II-GL. | 13 TACH GARBO-GLS. (HAUPTSTROM) |
| 6 HONGDE HIMAL V-GL. | 14 TACH GARBO-GLS. (FLANKENEIS) |
| 7 LINKER NEBENGL. HONGDE HIMAL V-GL. | 15 TACH GARBO LUNGPA II-GL. |
| 8 HONGDE HIMAL N-GL. | 16 TACH GARBO LUNGPA I-GL. |

KAMMUMRAHMUNG . - -
SCHMELZWASSERABFLUSS

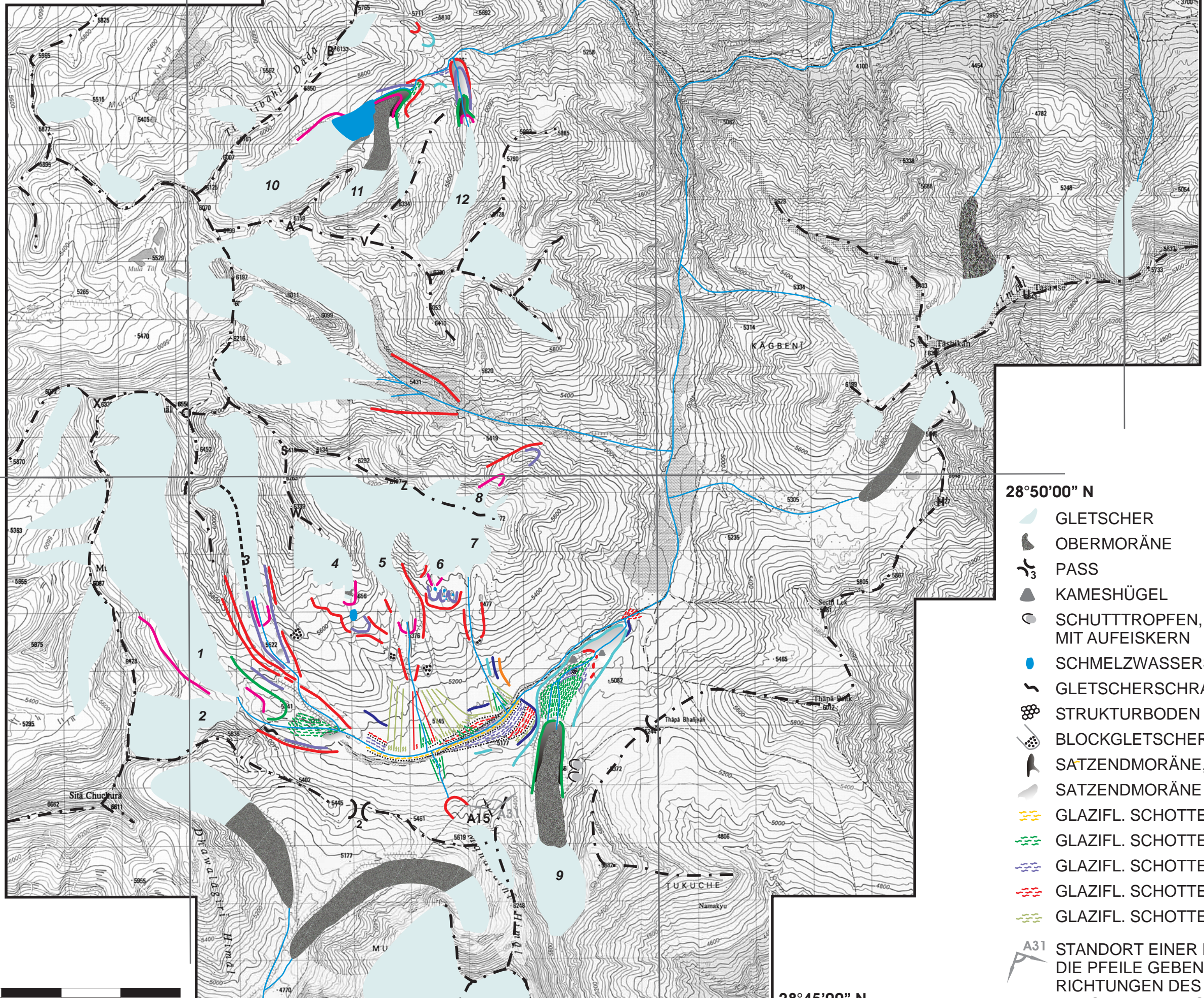
- IN BILDUNG BEGRIFFENE MITTEL-
REKONSTRUIERTER EISRAND ZU STADIUM -3
REKONSTRUIERTER EISRAND ZU STADIUM -2
REKONSTRUIERTER EISRAND ZU STADIUM -1
REKONSTRUIERTER EISRAND ZU STADIUM 1
REKONSTRUIERTER EISRAND ZU STADIUM 2
REKONSTRUIERTER EISRAND ZU STADIUM 3
REKONSTRUIERTER EISRAND ZU STADIUM 4

TERRASSENSTUFE...

83°30'00" E

83°40'00" E

28°55'00" N



28°50'00" N

- GLETSCHER
- OBERMORÄNE
- PASS
- KAMESHÜGEL
- SCHUTTTROPFEN, WAHRSCHEINLICH MIT AUFEISKERN
- SCHMELZWASSERSEE
- GLETSCHERSCHRAMMEN
- STRUKTURBODEN
- BLOCKGLETSCHER
- SATZENDMORÄNE, TOTEISBEINHALTIG
- SATZENDMORÄNE
- GLAZIFL. SCHOTTER, REZENT
- GLAZIFL. SCHOTTER (IV)
- GLAZIFL. SCHOTTER (III)
- GLAZIFL. SCHOTTER (II)
- GLAZIFL. SCHOTTER (I)

A31 STANDORT EINER PANORAMAUFNAHME
DIE PFEILE GEBEN DIE AUFNAHMERICHTUNGEN DES LINKEN BZW. RECHTEN PANORAMARANDS AN

A15 STANDORT UND AUFNAHMERICHTUNG EINER EINFELDAUFNAHME

0 1 2 3 4 5 KM

28°45'00" N

Karte 2: Aktuelle Vereisung und historische Maximalvergletscherung im Einzugsgebiet des Cha Lungpa

AKTUELLE AUSDEHNUNG DER GLETSCHER

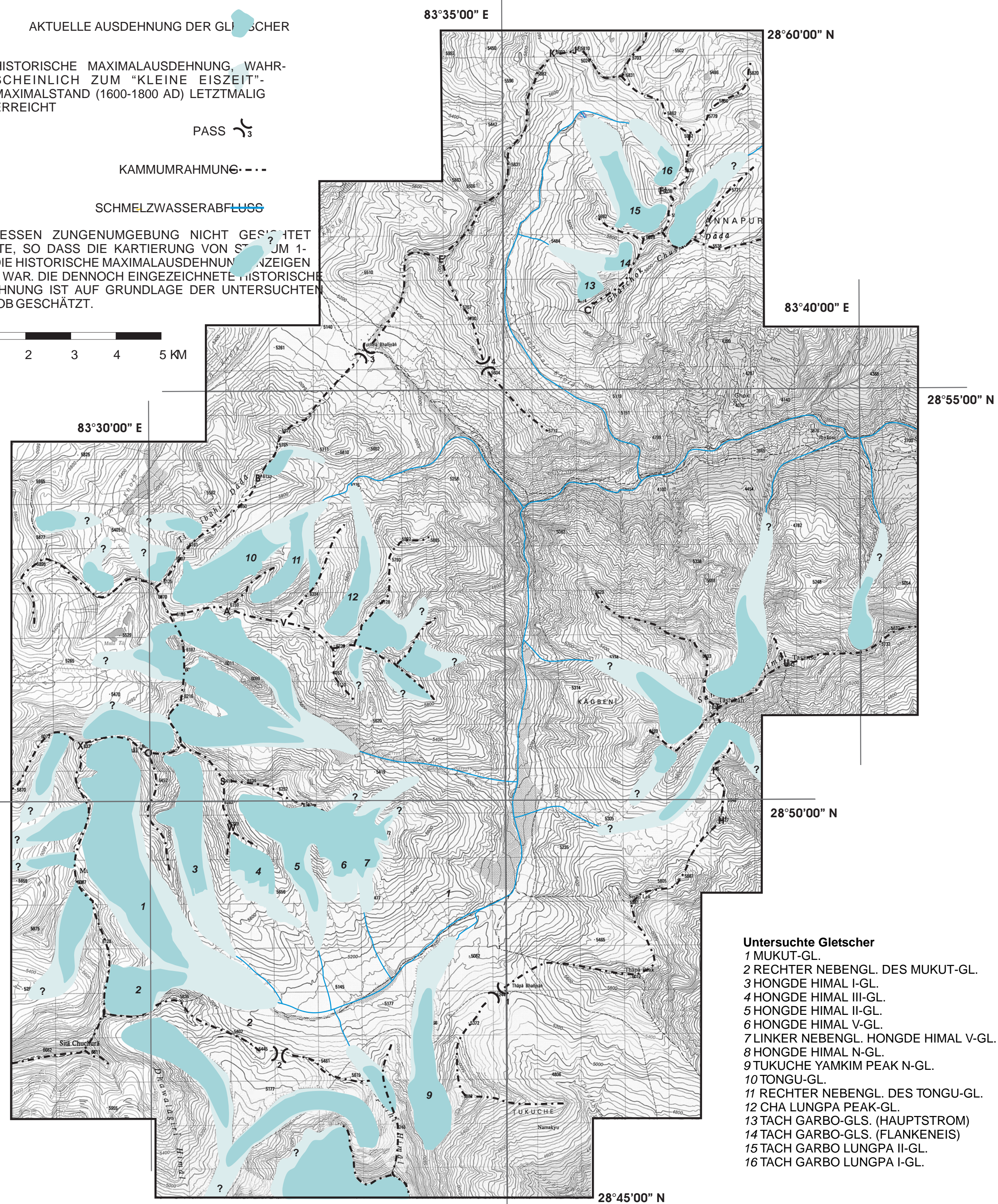
HISTORISCHE MAXIMALAUSDEHNUNG, WAHRSCHENLICH ZUM "KLEINE EISZEIT"-MAXIMALSTAND (1600-1800 AD) LETZTMALIG ERREICHT

PASS

KAMMUMRAHMUNG

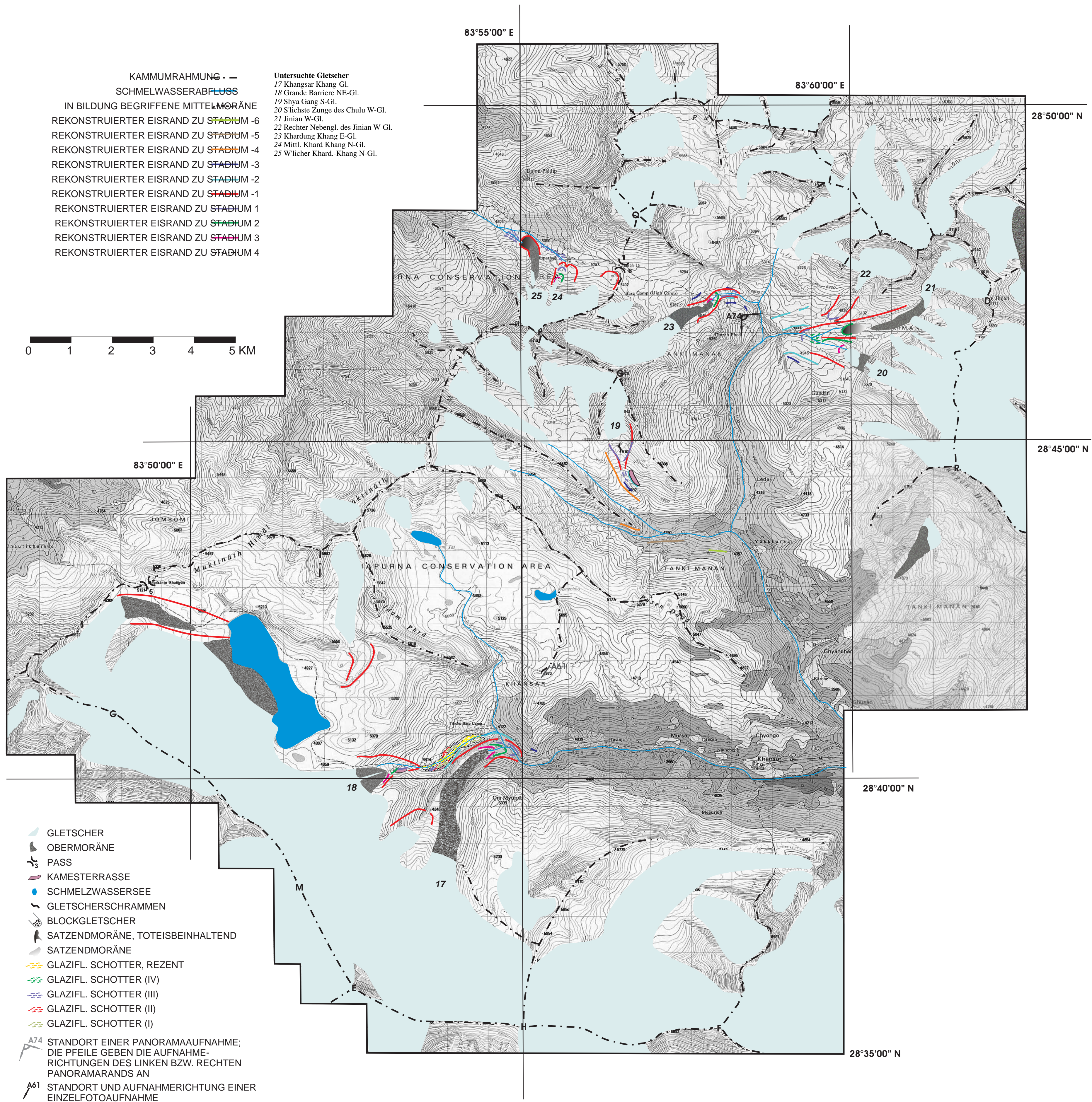
SCHMELZWASSERABFLUSS

GLETSCHER, DESSEN ZUNGENUMGEBUNG NICHT GESICHTET WERDEN KONNTE, SO DASS DIE KARTIERUNG VON STUUM 1-MORÄNEN, DIE DIE HISTORISCHE MAXIMALAUSDEHNUNG ANZEIGEN NICHT MÖGLICH WAR. DIE DENNOCH EINGEZEICHNETE HISTORISCHE MAXIMALAUSDEHNUNG IST AUF GRUNDLAGE DER UNTERSUCHTEN GLETSCHER GROB GESCHÄTZT.



- Untersuchte Gletscher**
- 1 MUKUT-GL.
 - 2 RECHTER NEBENGL. DES MUKUT-GL.
 - 3 HONGDE HIMAL I-GL.
 - 4 HONGDE HIMAL III-GL.
 - 5 HONGDE HIMAL II-GL.
 - 6 HONGDE HIMAL V-GL.
 - 7 LINKER NEBENGL. HONGDE HIMAL V-GL.
 - 8 HONGDE HIMAL N-GL.
 - 9 TUKUCHE YAMKIM PEAK N-GL.
 - 10 TONGU-GL.
 - 11 RECHTER NEBENGL. DES TONGU-GL.
 - 12 CHA LUNGPA PEAK-GL.
 - 13 TACH GARBO-GLS. (HAUPTSTROM)
 - 14 TACH GARBO-GLS. (FLANKENEIS)
 - 15 TACH GARBO LUNGPA II-GL.
 - 16 TACH GARBO LUNGPA I-GL.

Karte 3: Historische bis neoglaziale glazialgeomorphologische Phänomene in den Einzugsgebieten des Khangsar Khola, des Kone Khola und auf dem Thorung La



Karte 4: Aktuelle Vereisung und historische Maximalvergletscherung in den Einzugsgebieten des Khangsar Khola, des Kone Khola und auf dem Thorung La

